

Analyse mathématique de la supraconductivité

Virginie BONNAILLIE-NOËL

IRMAR, CNRS, ENS Cachan Bretagne et Université Rennes 1

1981-2011 : le CIRM célèbre ses 30 ans



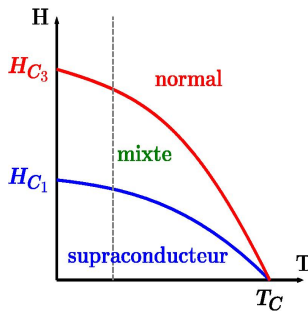
7 octobre 2011



Supraconductivité

Phénomène physique

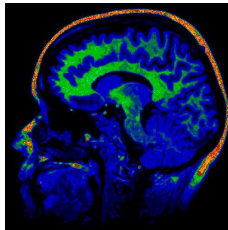
- ▷ propriété relative à certains matériaux
- ▷ à très basse température (153K au mieux)
- ▷ résistance électrique nulle
- ▷ expulsion du champ magnétique extérieur
effet Meissner



Supraconductivité

Domaines d'applications

- Lévitation magnétique : trains à sustentation électromagnétique
MagLev au Japon, projets allemands
- Imagerie médicale : IRM, RMN



Modélisation mathématique

Théorie de Ginzburg-Landau (1950)

- ▷ *description macroscopique*
- ▷ *valable près de la température critique*
- ▷ *basée sur une transition de second ordre*

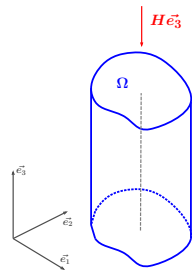
$$\Omega \subset \mathbb{R}^d$$

κ caractéristique du matériau (κ grand)

$H \text{ rot } \mathcal{A}_0$ champ magnétique appliqué
($\text{rot } \mathcal{A}_0$ vecteur unitaire)

$H\mathcal{A}$ potentiel magnétique induit

ψ paramètre d'ordre
($|\psi|^2 \propto$ densité des paires de Cooper)



Énergie du matériau :

$$\mathcal{E}_{\kappa, H}[\psi, \mathcal{A}] = \int_{\Omega} \left\{ |(\nabla - i\kappa H\mathcal{A})\psi|^2 - \kappa^2 |\psi|^2 + \frac{\kappa^2}{2} |\psi|^4 \right\} dx + \kappa^2 H^2 \int_{\mathbb{R}^d} |\text{rot}(\mathcal{A} - \mathcal{A}_0)|^2 dx$$

But : comprendre l'influence de Ω sur le comportement des minimiseurs

Secteurs de \mathbb{R}^2

Notations

$X = (X_1, X_2)$ coordonnées cartésiennes de \mathbb{R}^2

$$G^\alpha = \{X \in \mathbb{R}^2, X_1 > 0, 0 < X_2 < X_1 \tan \alpha\}$$

$Q^\alpha : -(\nabla - i\mathcal{A}_0)^2$ sur G^α + Neumann



Principe du min-max :

$$\mu_k(\alpha) = \max_{\Psi_1, \dots, \Psi_{k-1}} \min_{\substack{\Psi \in \mathcal{V} \\ \Psi \in [\Psi_1, \dots, \Psi_{k-1}]^\perp}} \frac{\|(\nabla - i\mathcal{A}_0)\Psi\|_{L^2(G^\alpha)}}{\|\Psi\|_{L^2(G^\alpha)}}$$

Question : Comportement de Q^α selon α ?

$\alpha = \frac{\pi}{2}$: cf. [Pan, Jadallah]

Secteurs de \mathbb{R}^2

Spectre

Bas du spectre

- ▶ $\inf \sigma_{\text{ess}}(Q^\alpha) = \Theta_0$
- ▶ $\mu_1(\alpha) \leq \Theta_0$ pour tout $\alpha \in (0, 2\pi)$
- ▶ Pour tout $\alpha \in (0, \pi/2]$, $\mu_1(\alpha) < \Theta_0$
- ▶ $\alpha \mapsto \alpha\mu_1(\alpha)$ est croissante
- ▶ $\alpha \mapsto \mu_1(\alpha)/\alpha$ est décroissante

K_α : nombre de valeurs propres $< \Theta_0$

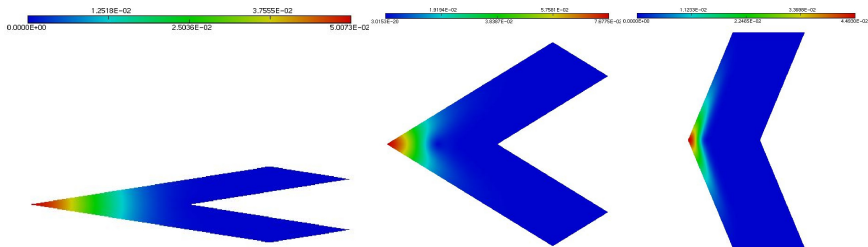
Décroissance des fonctions propres

Soit Ψ_k^α une fonction propre normalisée pour $\mu_k(\alpha)$

$$|\Psi_k^\alpha(X)| \sim C e^{-\sqrt{\Theta_0 - \mu_k(\alpha)}|X|}$$

Secteurs de \mathbb{R}^2

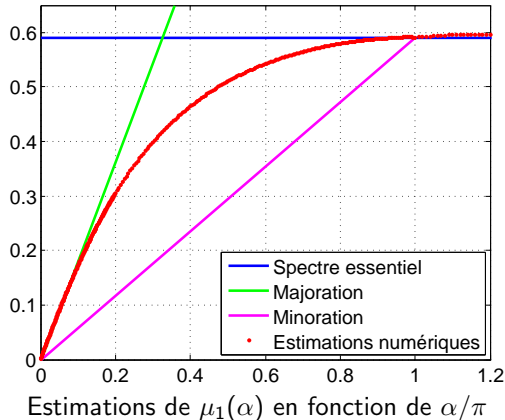
Simulations numériques



Modules de la première fonction propre pour différents angles

Secteurs de \mathbb{R}^2

Simulations numériques



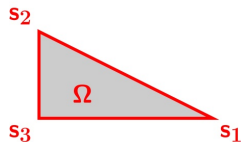
Conjecture : μ_1 croît de $(0, \pi]$ vers $(0, \Theta_0]$, vaut Θ_0 sur $[\pi, 2\pi)$

Domaines à coins

Spectre sur les polygones



Ω polygone convexe
 Σ ensemble des sommets s de Ω
 α_s angle en s
 G^{α_s} secteur de \mathbb{R}^2 d'ouverture α_s



P_h : réalisation de Neumann sur Ω de $-(h\nabla - i\mathcal{A}_0)^2$

But : déterminer le comportement des modes propres $(\mu_{h,n}, u_{h,n})$ de P_h quand $h \rightarrow 0$

$$\mu_{h,n} = \max_{u_1, \dots, u_{n-1}} \min \left\{ \frac{\|(h\nabla - i\mathcal{A})u\|_{L^2(\Omega)}}{\|u\|_{L^2(\Omega)}}, u \in \mathcal{V}, u \in [u_1, \dots, u_{n-1}]^\perp \right\}$$

Domaines à coins

Construction de quasi-modes

Soit $s \in \Sigma$ et $k \geq 1$ tels que $\mu_k(\alpha_s) < \Theta_0$

$\Psi_k^{\alpha_s}$ une fonction propre normalisée de Q^{α_s} sur G^{α_s} pour $\mu_k(\alpha_s)$

Dilatation

$X = \frac{x}{\sqrt{h}}$ pour relier $Q^{\alpha_s} = -(\nabla - i\mathcal{A}_0)^2$ et $P_h = -(h\nabla - i\mathcal{A}_0)^2$ sur G^{α_s}

$x \mapsto \Psi_k^{\alpha_s} \left(\frac{x}{\sqrt{h}} \right)$ fonction propre de P_h sur G^{α_s} associée à $h\mu_k(\alpha_s)$

Domaines à coins

Construction de quasi-modes

Soit $s \in \Sigma$ et $k \geq 1$ tels que $\mu_k(\alpha_s) < \Theta_0$

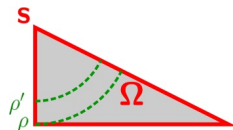
$\Psi_k^{\alpha_s}$ une fonction propre normalisée de Q^{α_s} sur G^{α_s} pour $\mu_k(\alpha_s)$

Troncature

$$\rho_s = \text{dist}(s, \Sigma \setminus \{s\})$$

Fonction de troncature :

$$\chi_s(x) = \begin{cases} 0 & \text{si } x \notin B(s, \rho_s) \\ 1 & \text{si } x \in B(s, \rho') \text{ avec } \rho' < \rho_s \end{cases}$$



Quasi-mode défini sur Ω

$$x \longmapsto \psi_{h,s,k}(x) = \chi_s(x) \tilde{\psi}_{h,s,k}(x)$$

Domaines à coins

Construction de quasi-modes

Norme

$$|1 - \|\psi_{h,s,k}\|^2| \sim Ce^{-\frac{2\rho' \sqrt{\Theta_0 - \mu_k(\alpha_s)}}{\sqrt{h}}}$$

Quotient de Rayleigh

$$\left| \frac{\|(h\nabla - i\mathcal{A}_0)\psi_{h,s,k}\|^2}{\|\psi_{h,s,k}\|^2} - h\mu_k(\alpha_s) \right| \sim Ce^{-\frac{2\rho' \sqrt{\Theta_0 - \mu_k(\alpha_s)}}{\sqrt{h}}}$$

Approximation de l'équation du mode propre

$$\|P_h\psi_{h,s,k} - h\mu_k(\alpha_s)\psi_{h,s,k}\| \sim Ce^{-\frac{\rho' \sqrt{\Theta_0 - \mu_k(\alpha_s)}}{\sqrt{h}}}$$

Domaines à coins

Estimations tubulaires des valeurs propres

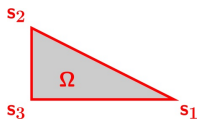
- ▶ $\mu_{h,n}$ la n^{e} valeur propre de P_h répétée selon la multiplicité
- ▶ λ_n la n^{e} valeur propre de $\bigoplus_{s \in \Sigma} Q^{\alpha_s}$ répétée selon la multiplicité
- ▶ K_Ω nombre de valeurs propres $\lambda_n < \Theta_0$
- ▶ Soit $n \leq K_\Omega$, $\Sigma_n = \{s \in \Sigma, \lambda_n \text{ est une valeur propre de } Q^{\alpha_s}\}$
- ▶ $r(\lambda_n) = \min_{s \in \Sigma_n} d(s, \Sigma \setminus \{s\})$

Théorème

$$|\mu_{h,n} - h\lambda_n| \sim C e^{-\frac{r(\lambda_n)\sqrt{\Theta_0 - \lambda_n}}{\sqrt{h}}}, \quad \forall n \leq K_\Omega$$

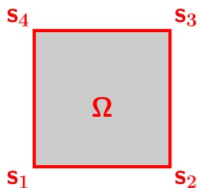
Domaines à coins

Exemples



$$\lambda_1 = \mu_1(\alpha_{s_1}) < \lambda_2 = \mu_1(\alpha_{s_2}) < \lambda_3 = \mu_1(\alpha_{s_3})$$

$$\frac{\mu_{h,1}}{h} \sim \mu_1(\alpha_{s_1}), \quad \frac{\mu_{h,2}}{h} \sim \mu_1(\alpha_{s_2}), \quad \frac{\mu_{h,3}}{h} \sim \mu_1(\alpha_{s_3})$$

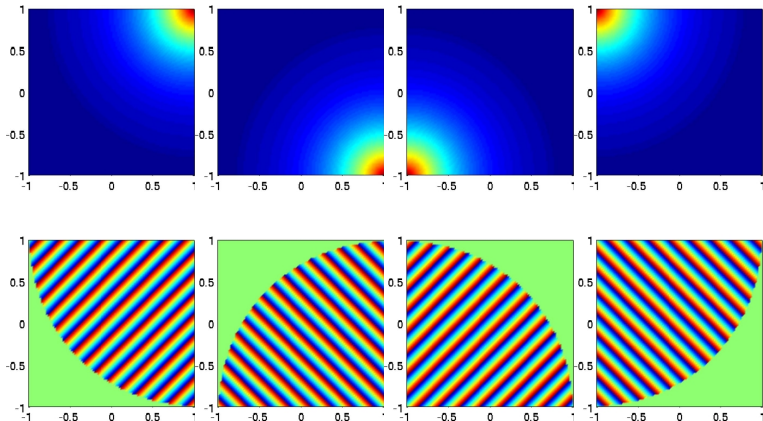


$$\lambda_1 = \lambda_2 = \lambda_3 = \lambda_4 = \mu_1\left(\frac{\pi}{2}\right)$$

$$\frac{\mu_{h,k}}{h} \sim \mu_1\left(\frac{\pi}{2}\right), \quad k = 1, \dots, 4$$

Carré

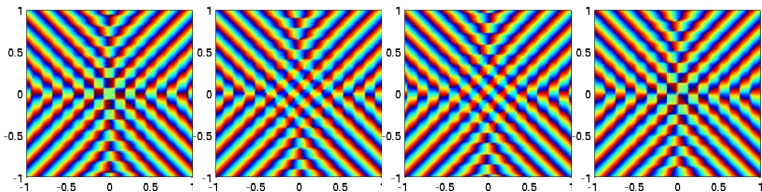
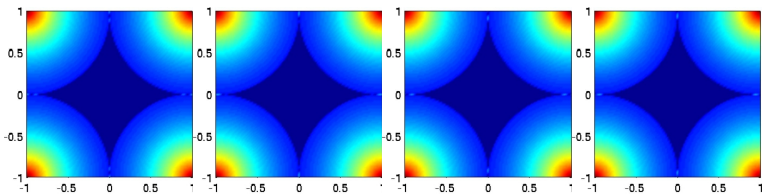
Qu'en est-il des vecteurs propres ?



Quasi-modes $\Psi_1, \Psi_2, \Psi_3, \Psi_4$

Carré

Combinaisons linéaires $\begin{pmatrix} 1 & 1 & 1 & 1 \\ 1 & i & -1 & -i \\ 1 & -i & -1 & i \\ 1 & -1 & 1 & -1 \end{pmatrix} \begin{pmatrix} \Psi_1 \\ \Psi_2 \\ \Psi_3 \\ \Psi_4 \end{pmatrix}$



Domaines à coins

Estimations des clusters d'espaces propres

Répétitions dans $\{\lambda_1, \dots, \lambda_{K_\Omega}\} \Rightarrow$ regroupement des $\mu_{h,n}$ en clusters

- ▶ $(\mu_{h,n}, u_{h,n})$ le n^{e} mode propre de P_h
- ▶ $\{\Lambda_1 < \dots < \Lambda_M\}$ l'ensemble des valeurs distinctes de $\{\lambda_1, \dots, \lambda_{K_\Omega}\}$
- ▶ m^{e} cluster d'espaces propres pour P_h ($m \leq M$)

$$F_{h,m} = \text{Vect}\{u_{h,n} \text{ pour tout } n \text{ t. q. } \lambda_n = \Lambda_m\}$$

- ▶ Cluster de quasi-modes correspondant

$$E_{h,m} = \text{Vect}\{\psi_{h,s,k} = \chi_s \tilde{\psi}_{h,s,k} \text{ pour tout } s \in \Sigma, k \geq 1 \text{ t. q. } \mu_k(\alpha_s) = \Lambda_m\}$$

Théorème

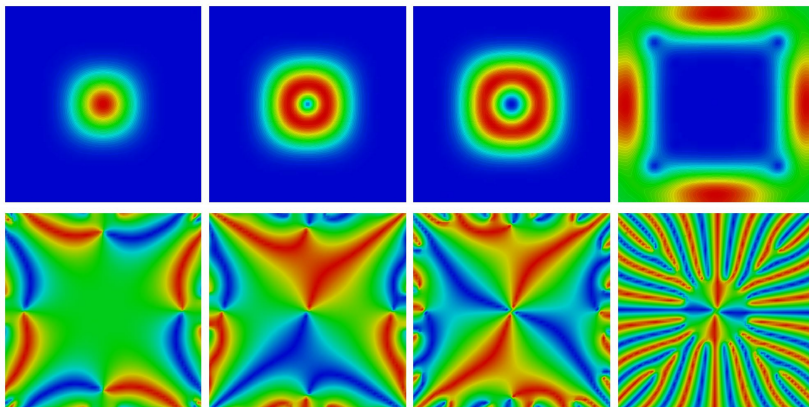
$$d(E_{h,m}; F_{h,m}) \sim C e^{-\frac{r(\Lambda_m)\sqrt{\Theta_0 - \Lambda_m}}{\sqrt{h}}}, \quad \forall m \leq M$$

“ Tout $\psi \in F_{h,m}$ est exponentiellement proche d'une combinaison linéaire des éléments de $E_{h,m}$ ”
 \Rightarrow regroupement par niveau d'énergie

Domaines à coins

Simulations numériques sur un carré

Calcul des modes propres avec la librairie d'éléments finis MÉLINA



Module et phase des fonctions propres 1-4, $h=0.02$

63×63 éléments Q^1

Domaines à coins

Simulations numériques sur un carré

Calcul des modes propres avec la librairie d'éléments finis MÉLINA

Quasi-mode :

$$\tilde{\psi}_{h,s,k}(x) = \frac{1}{\sqrt{h}} \exp\left(\frac{i}{2h} x \wedge s\right) \Psi_k^{\alpha_s}\left(\frac{\mathcal{R}_s(x-s)}{\sqrt{h}}\right) \chi_s(x)$$

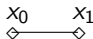
Difficulté

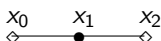
Structure 2 échelles pour les fonctions propres :

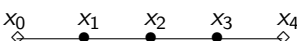
1. une couche au coin à l'échelle \sqrt{h}
2. un terme oscillant à l'échelle h

Quelques mots sur les méthodes numériques

Approximation numérique en 1D

P_1 x_0 x_1  polynôme de degré 1 $P(x_j) = f(x_j)$

P_2 x_0 x_1 x_2  polynôme de degré 2 $P(x_j) = f(x_j)$

P_4 x_0 x_1 x_2 x_3 x_4  polynôme de degré 4 $P(x_j) = f(x_j)$

Quelle est la meilleure stratégie pour le même nombre de degrés de liberté ?

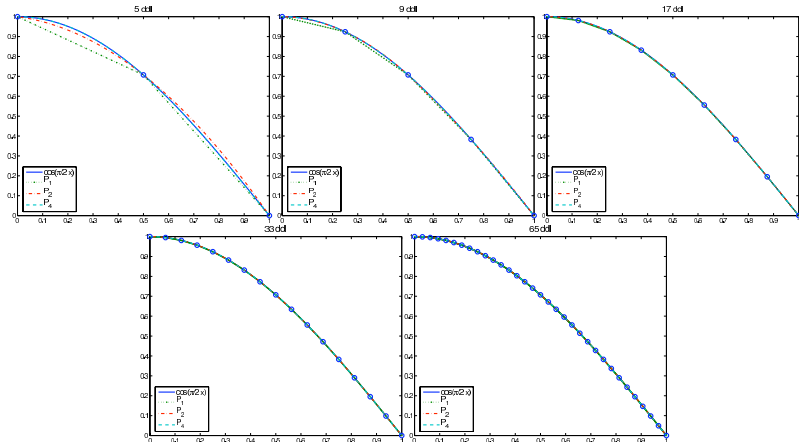
4 éléments P_1 

2 éléments P_2 

1 élément P_4 

Quelques mots sur les méthodes numériques

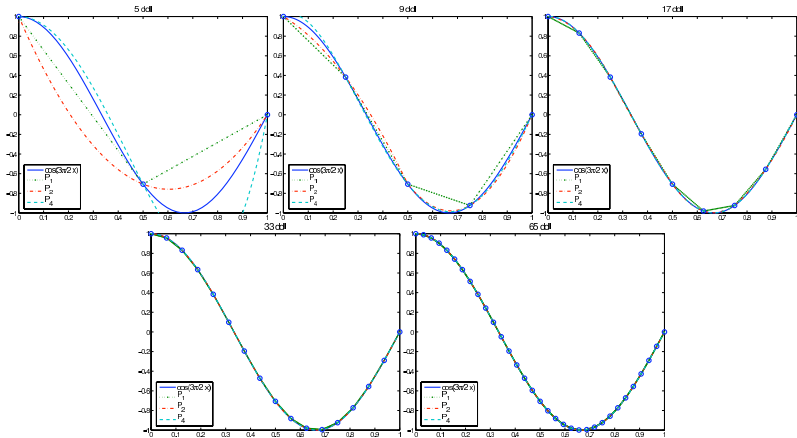
Approximation de fonctions oscillantes avec 5, 9, 17, 33 et 65 ddl



Approximation de $x \mapsto \cos\left(\frac{\pi}{2}x\right)$

Quelques mots sur les méthodes numériques

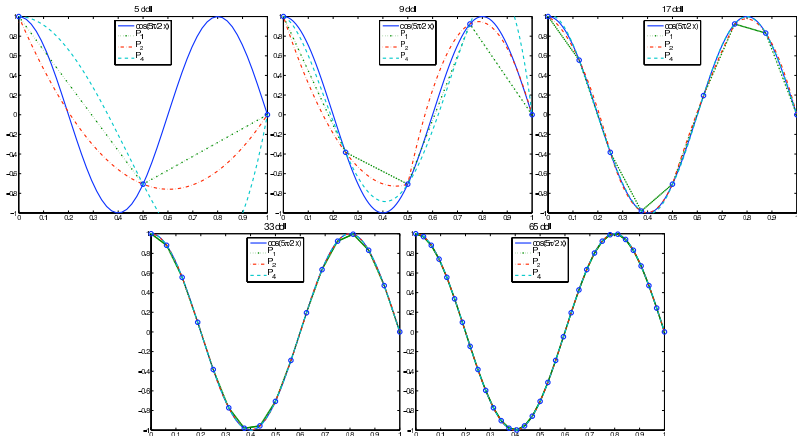
Approximation de fonctions oscillantes avec 5, 9, 17, 33 et 65 ddl



Approximation de $x \mapsto \cos\left(\frac{3\pi}{2} x\right)$

Quelques mots sur les méthodes numériques

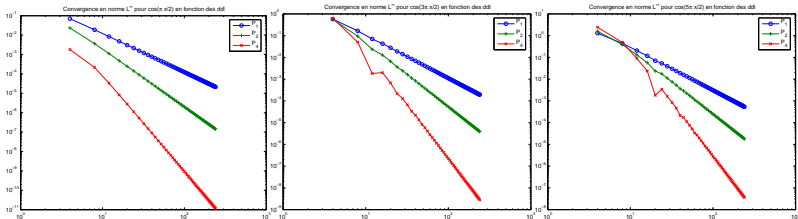
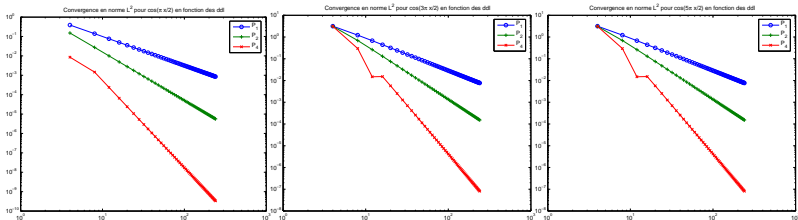
Approximation de fonctions oscillantes avec 5, 9, 17, 33 et 65 ddl



Approximation de $x \mapsto \cos(\frac{5\pi}{2}x)$

Quelques mots sur les méthodes numériques

Convergence en norme L^2 et L^∞



$x \mapsto \cos\left(\frac{\pi}{2} x\right)$

$x \mapsto \cos\left(\frac{3\pi}{2} x\right)$

$x \mapsto \cos\left(\frac{5\pi}{2} x\right)$

Quelques mots sur les méthodes numériques

Méthode des éléments finis

- ▶ **Problème continu** : on cherche (λ, u) tel que

$$\int_{\Omega} (h\nabla - i\mathcal{A}_0)u \cdot \overline{(h\nabla - i\mathcal{A}_0)v} dx = \lambda \int_{\Omega} u\bar{v}dx, \quad \forall v \in \mathcal{V}$$

- ▶ **Espace d'approximation** $\mathcal{V}_h \subset \mathcal{V}$: on cherche (λ_h, u_h) tel que

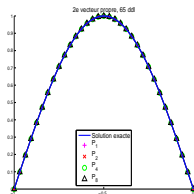
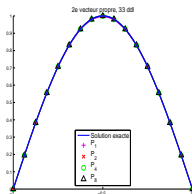
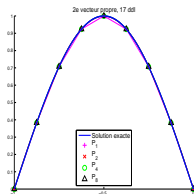
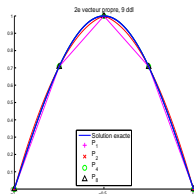
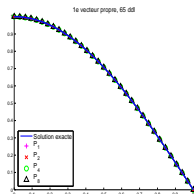
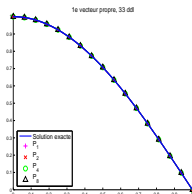
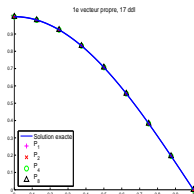
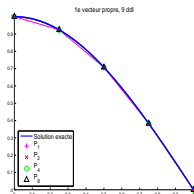
$$\int_{\Omega} (h\nabla - i\mathcal{A}_0)u_h \cdot \overline{(h\nabla - i\mathcal{A}_0)v_h} dx = \lambda \int_{\Omega} u_h\bar{v}_h dx, \quad \forall v_h \in \mathcal{V}_h$$

- ▶ **Écriture matricielle** : on cherche $(\lambda_h, U_h) \in \mathbb{R} \times \mathbb{R}^n$ tel que

$$AU_h = \lambda_h MU_h$$

Quelques mots sur les méthodes numériques

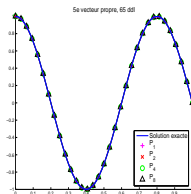
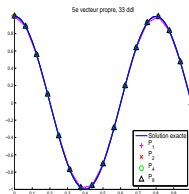
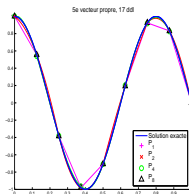
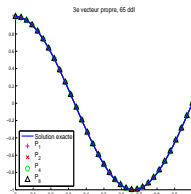
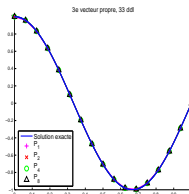
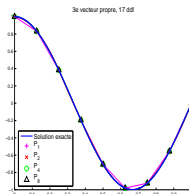
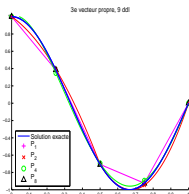
Calcul des fonctions propres du Laplacien



Vecteurs propres 1 et 2 pour 9, 17, 33 et 65 ddl

Quelques mots sur les méthodes numériques

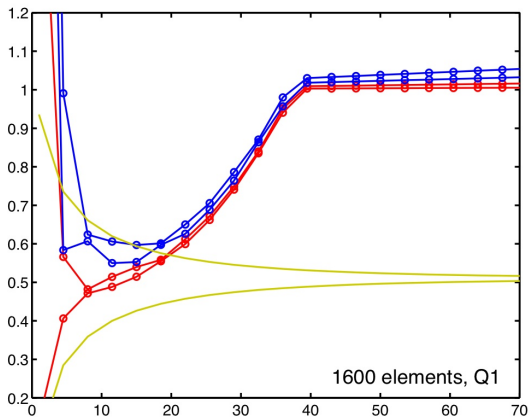
Calcul des fonctions propres du Laplacien



Vecteurs propres 3 et 5 pour 9, 17, 33 et 65 ddl

Calculs des modes propres sur un polygone

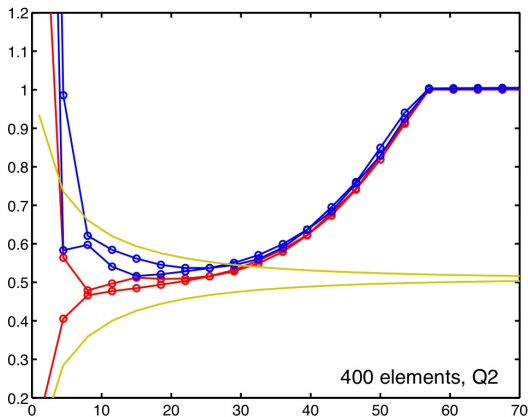
Carré - Influence du degré d'approximation



$h^{-1} \mu_{h,n}$ versus h^{-1} pour le même nombre de ddl

Calculs des modes propres sur un polygone

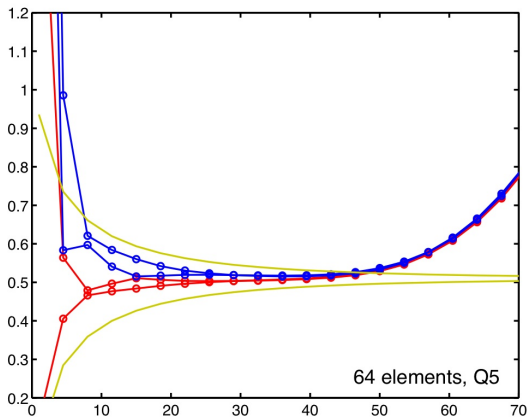
Carré - Influence du degré d'approximation



$h^{-1} \mu_{h,n}$ versus h^{-1} pour le même nombre de ddl

Calculs des modes propres sur un polygone

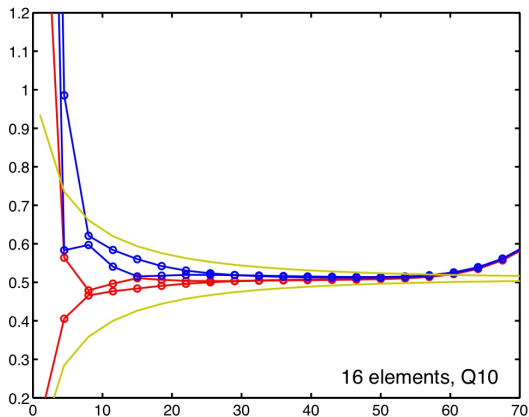
Carré - Influence du degré d'approximation



$h^{-1} \mu_{h,n}$ versus h^{-1} pour le même nombre de ddl

Calculs des modes propres sur un polygone

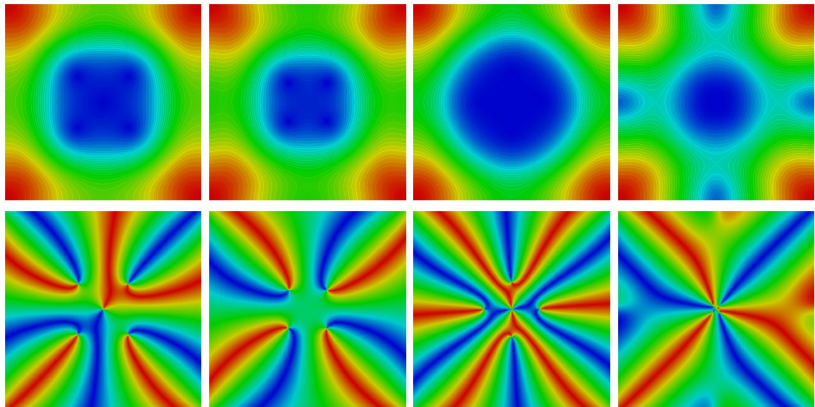
Carré - Influence du degré d'approximation



$h^{-1} \mu_{h,n}$ versus h^{-1} pour le même nombre de ddl

Calculs des modes propres sur un polygone

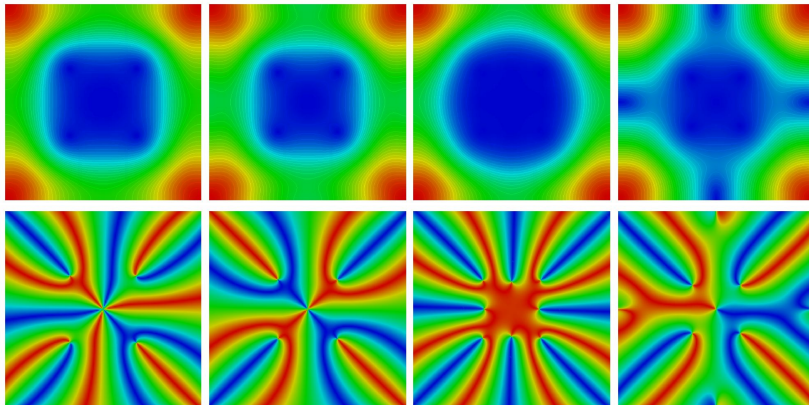
Carré



Modules et phases des fonctions propres 1-4, $h = 0.08$

Calculs des modes propres sur un polygone

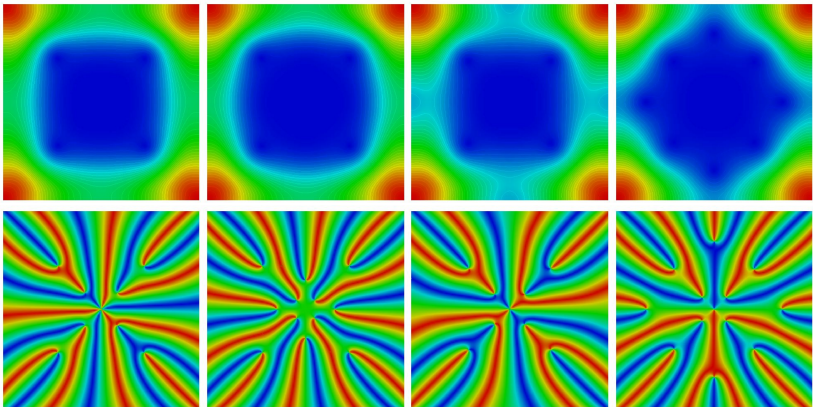
Carré



Modules et phases des fonctions propres 1-4, $h = 0.06$

Calculs des modes propres sur un polygone

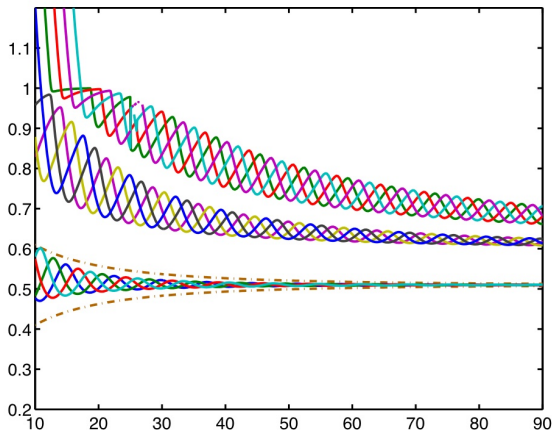
Carré



Modules et phases des fonctions propres 1-4, $h = 0.04$

Calculs des modes propres sur un polygone

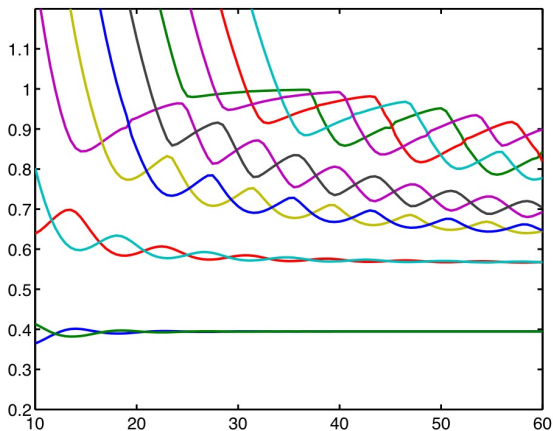
Carré - effet tunnel



$h^{-1}\mu_{h,n}$ versus h^{-1}

Calculs des modes propres sur un polygone

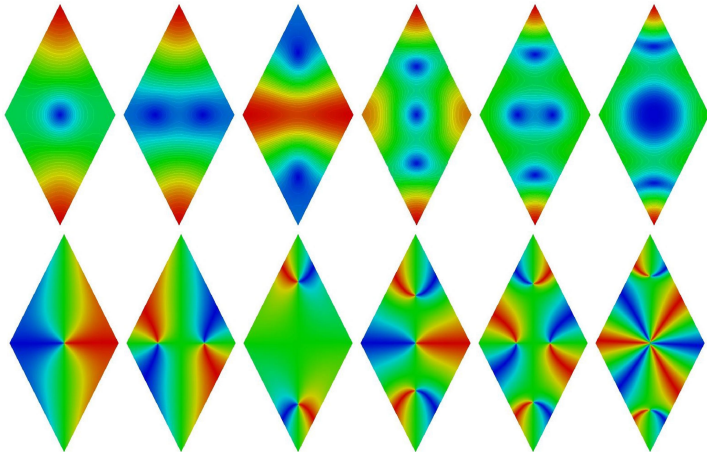
Quelle est la forme de Ω ?



$$\lambda_1 = \lambda_2 < \lambda_3 = \lambda_4 < \Theta_0$$

Calculs des modes propres sur un polygone

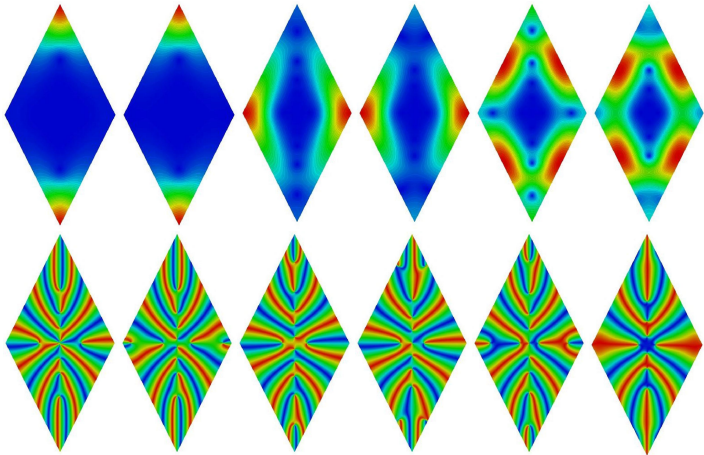
Losange



Modules et phases des fonctions propres 1-6, $h = 0.1$

Calculs des modes propres sur un polygone

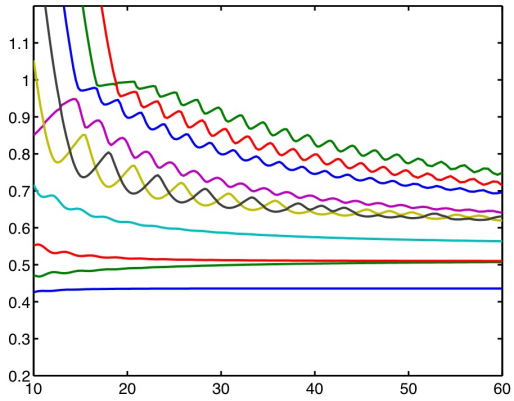
Losange



Modules et phases des fonctions propres 1-6, $h = 0.02$

Calculs des modes propres sur un polygone

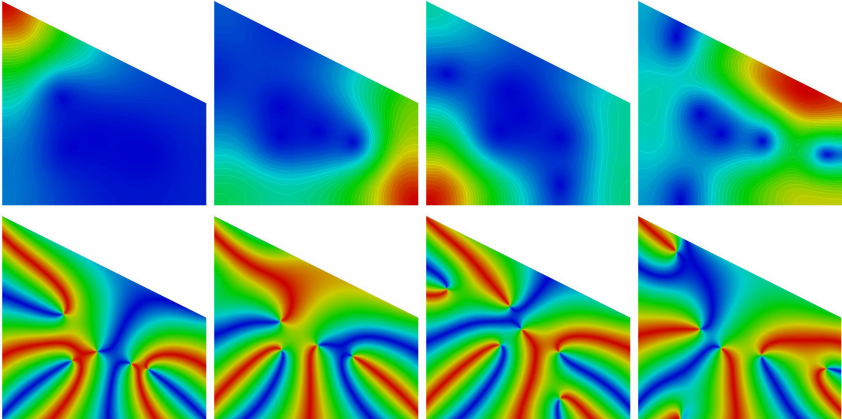
Quelle est la forme de Ω ?



$$\lambda_1 < \lambda_2 = \lambda_3 < \lambda_4 < \Theta_0$$

Calculs des modes propres sur un polygone

Trapèze



Modules et phases des fonctions propres 1-4, $h = 0.06$

Opérateur de Schrödinger sur un polygone curviligne

Ω polygone curviligne borné avec bord régulier par morceaux

\mathcal{A} potentiel magnétique de champ associé $\mathcal{B} = \text{rot } \mathcal{A}$

- ▶ $b = \inf_{x \in \bar{\Omega}} \mathcal{B}(x)$ et $b' = \inf_{x \in \partial\Omega} \mathcal{B}(x)$
- ▶ $\mu_{h,n}$ la n^{e} valeur propre de P_h comptée avec multiplicité
- ▶ λ_n la n^{e} valeur propre de $\bigoplus_{s \in \Sigma} \mathcal{B}(s) Q^{\alpha_s}$ comptée avec multiplicité

$K_{\Omega, \mathcal{B}}$ le nombre de valeurs propres de P_h qui sont $< \min(\Theta_0 b', b)$

- ▶ Développement asymptotique complet en \sqrt{h} des $\mu_{h,n}$ pour $n \leq K_{\Omega, \mathcal{B}}$
- ▶ Précision du comportement des fonctions propres

Applications à l'apparition de la supraconductivité

Asymptotique du champ critique

Ω polygone curviligne borné, simplement connexe

Σ ensemble des sommets s de $\partial\Omega$, $N = |\Sigma| > 0$

α_s angle au sommet s

Hypothèses : pour tout $s \in \Sigma$, $\mu_1(\alpha_s) < \Theta_0$ et $\alpha_s \in (0, \pi)$

Théorème

Il existe une suite de réels $(\eta_j)_{j \geq 1}$ telle que, pour $\kappa \rightarrow +\infty$

$$\underline{H}_{C_3}(\kappa) = \overline{H}_{C_3}(\kappa) = H_{C_3}^{\text{lin}}(\kappa) = \frac{\kappa}{\Lambda_1} \left(1 + \sum_{j=1}^{\infty} \eta_j \kappa^{-j} \right)$$

avec

$$\Lambda_1 := \min_{s \in \Sigma} \mu_1(\alpha_s)$$

Applications à l'apparition de la supraconductivité

Localisation du minimiseur

Théorème

Soit $\mu > 0$ tel que $\min_{s \in \Sigma} \mu_1(\alpha_s) < \mu < \Theta_0$

On définit

$$\Sigma' := \{s \in \Sigma \mid \mu_1(\alpha_s) \leq \mu\}$$

Il existe $\kappa_0, C, \varepsilon > 0$ tels que si

$$\kappa \geq \kappa_0, \quad H \geq \frac{\kappa}{\mu}$$

et (ψ, \mathcal{A}) est un minimiseur de $\mathcal{E}_{\kappa, H}$, alors

$$|\psi(x)| \leq C e^{-\varepsilon \sqrt{\kappa H} \text{dist}(x, \Sigma')}$$

“Les coins de plus basse énergie se peuplent progressivement”

Quelques pistes en dimension 3

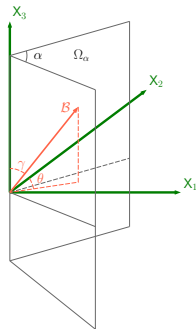
Dièdre

Influence de l'orientation du champ

$$\Omega^\alpha = G^\alpha \times \mathbb{R}$$

$$B_0(X) = (\sin \theta \sin \gamma, \cos \theta \sin \gamma, \cos \gamma)$$

$$A_0(X) = \left(-\cos \gamma \frac{X_2}{2}, \cos \gamma \frac{X_1}{2}, \sin \gamma (\sin \theta X_2 - \cos \theta X_1)\right)$$



$$\left(D_{X_1} + \frac{X_2}{2} \cos \gamma\right)^2 + \left(D_{X_2} - \frac{X_1}{2} \cos \gamma\right)^2 + (D_{X_3} - \sin \gamma (\sin \theta X_2 - \cos \theta X_1))^2$$

sur Ω^α

Quelques pistes en dimension 3

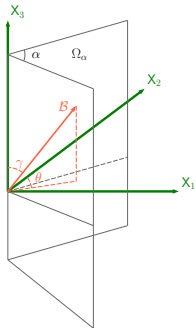
Dièdre

Influence de l'orientation du champ

$$\Omega^\alpha = G^\alpha \times \mathbb{R}$$

$$\mathcal{B}_0(\mathbf{X}) = (\sin \theta \sin \gamma, \cos \theta \sin \gamma, \cos \gamma)$$

$$\mathcal{A}_0(\mathbf{X}) = \left(-\cos \gamma \frac{X_2}{2}, \cos \gamma \frac{X_1}{2}, \sin \gamma (\sin \theta X_2 - \cos \theta X_1)\right)$$



$$\left(D_{X_1} + \frac{X_2}{2} \cos \gamma\right)^2 + \left(D_{X_2} - \frac{X_1}{2} \cos \gamma\right)^2 + \left(\tau - \sin \gamma (\sin \theta X_2 - \cos \theta X_1)\right)^2$$

sur G^α

